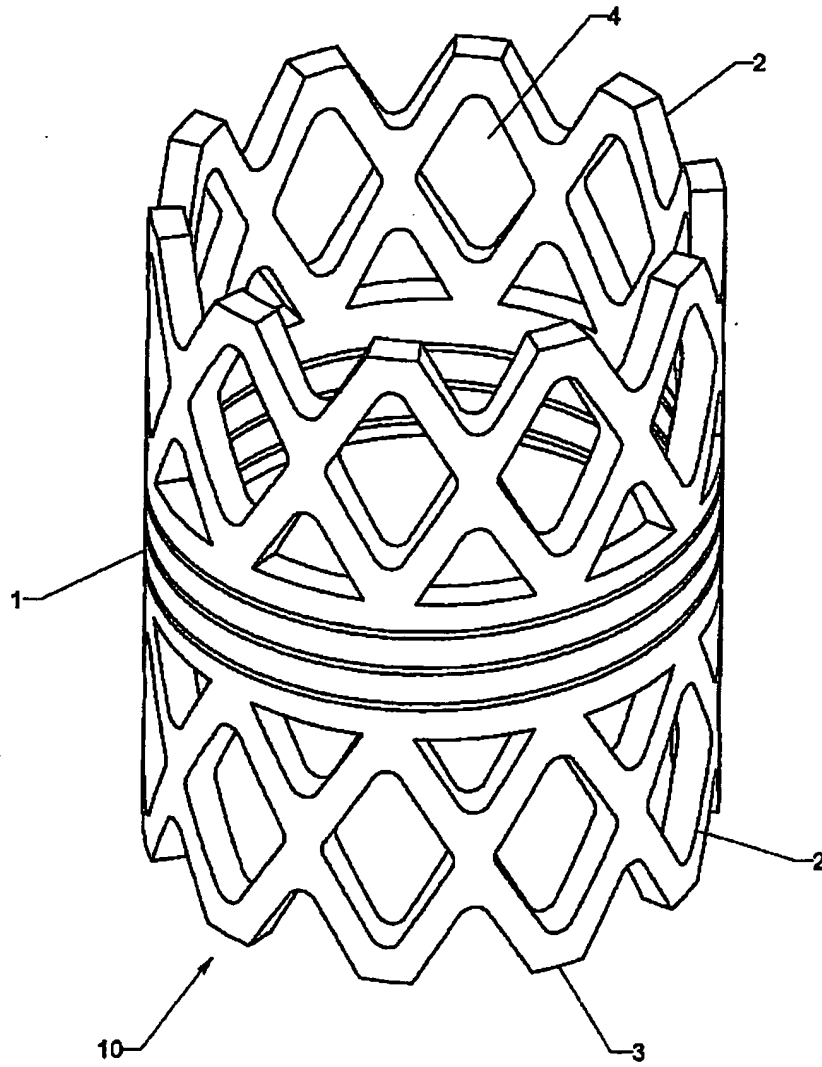
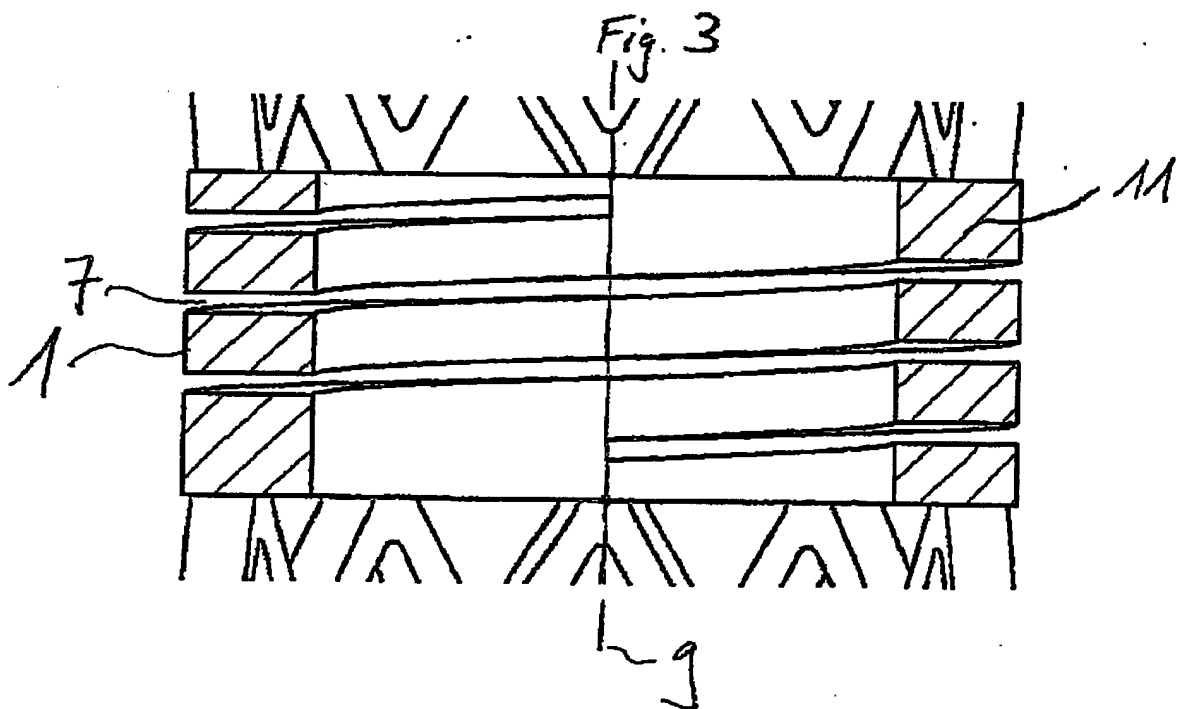
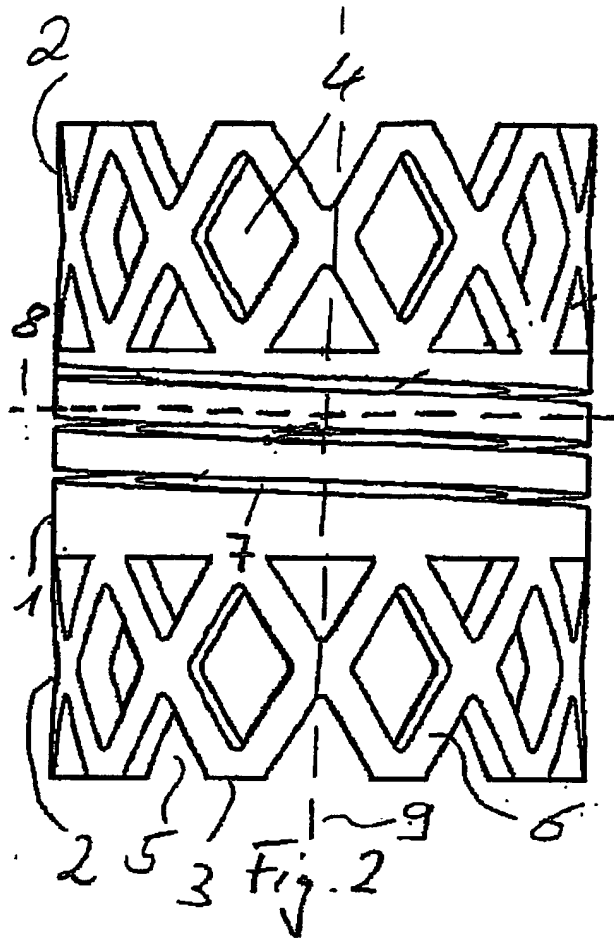


Fig. 1





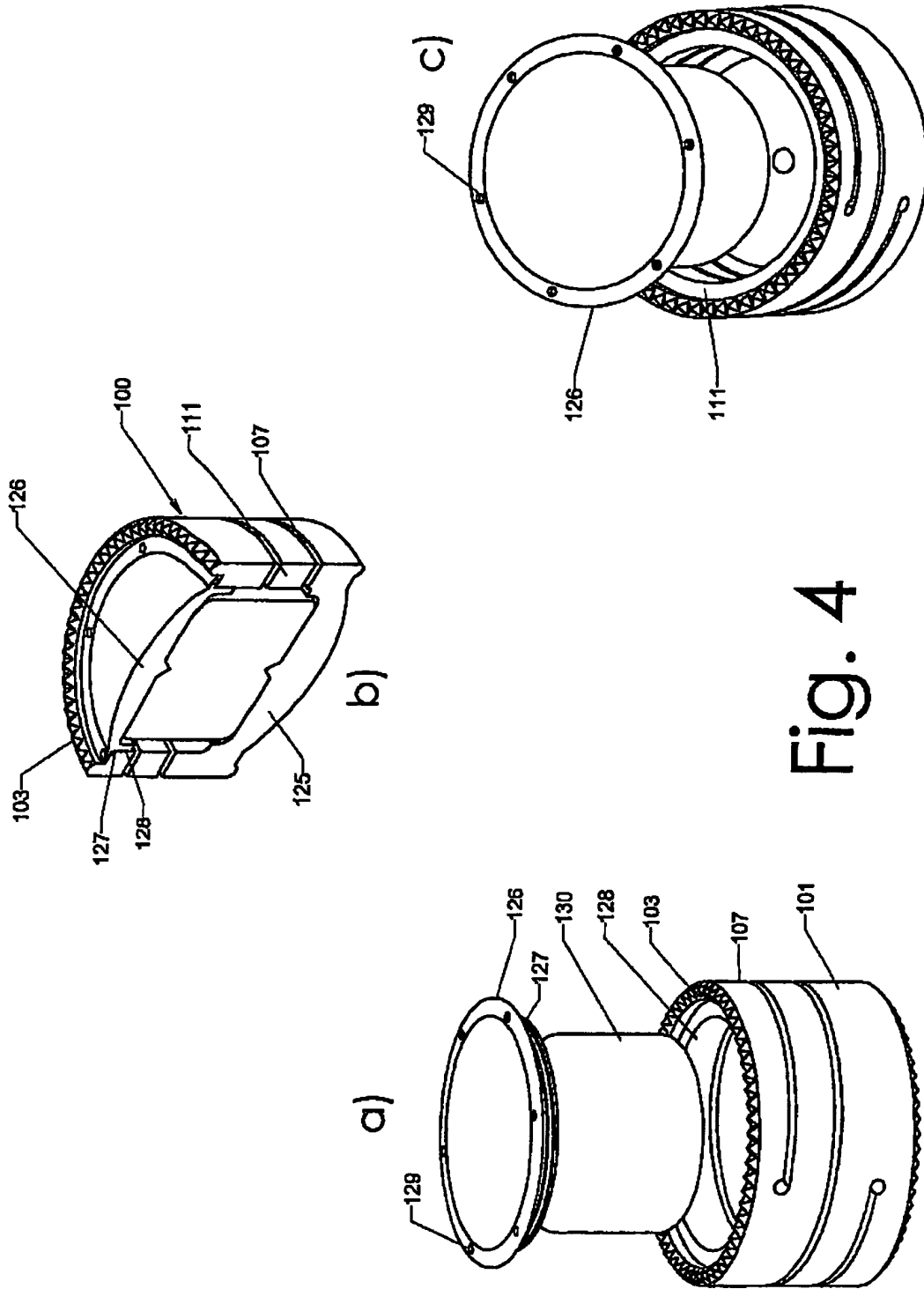


Fig. 4

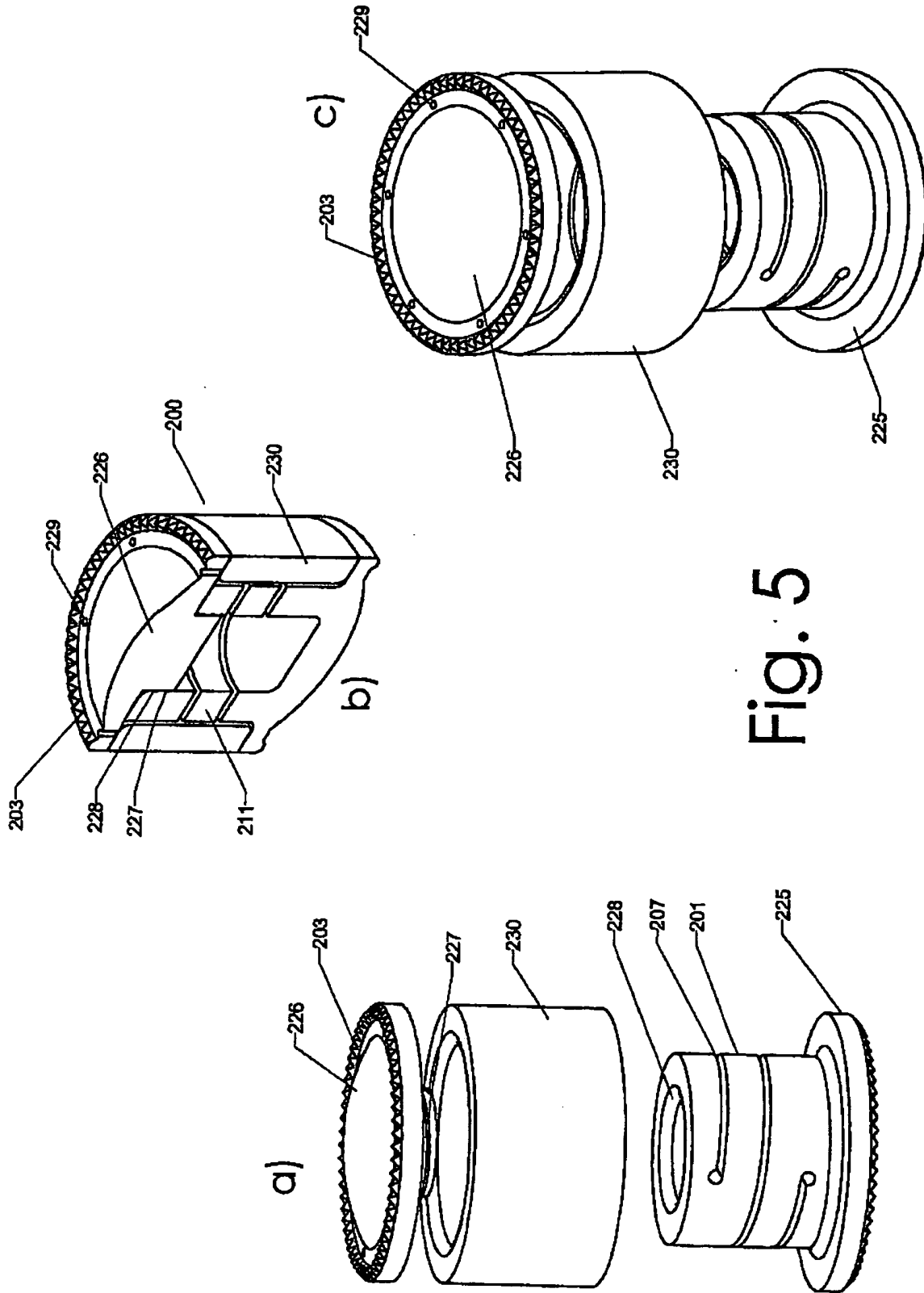


Fig. 5

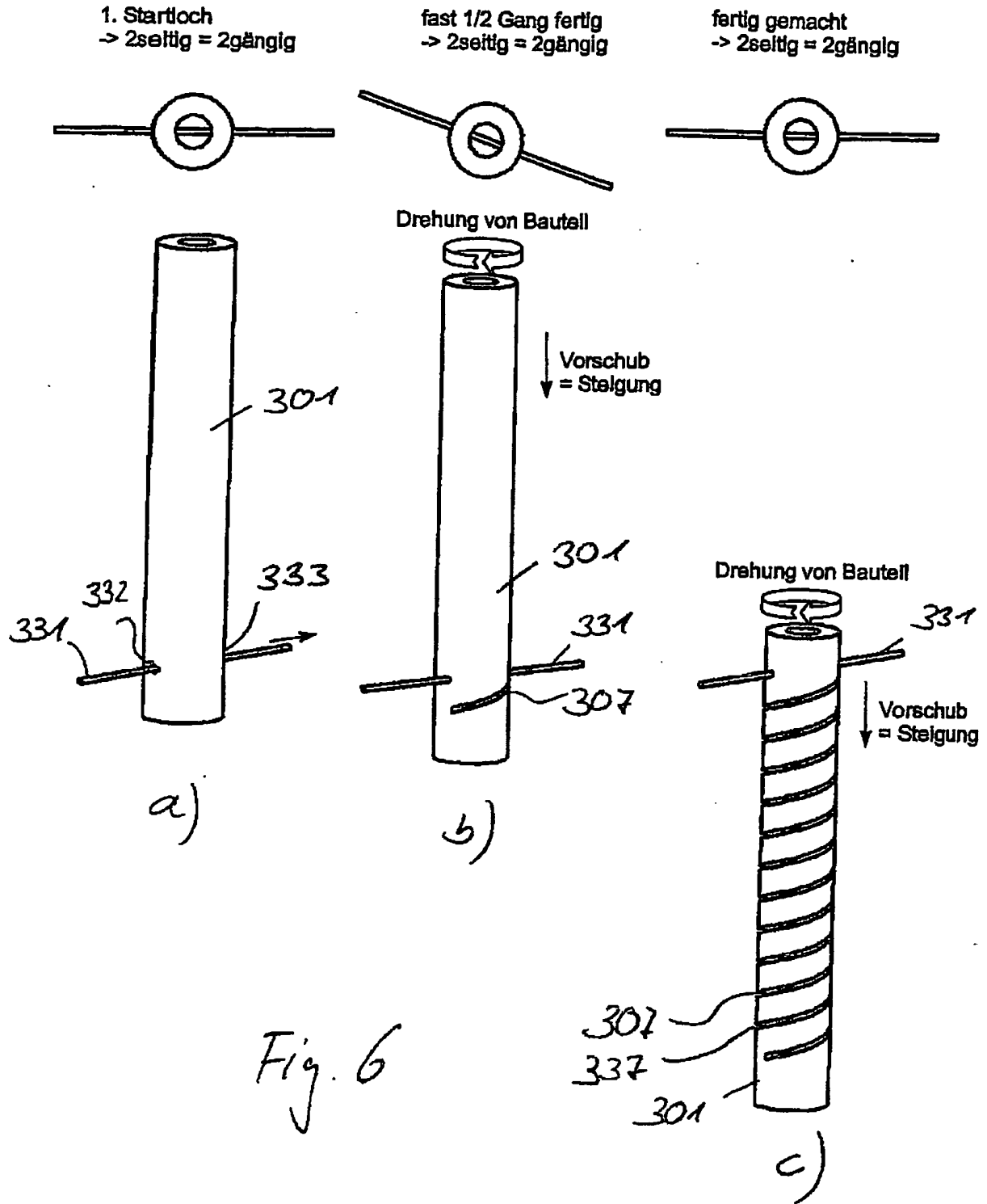


Fig. 8

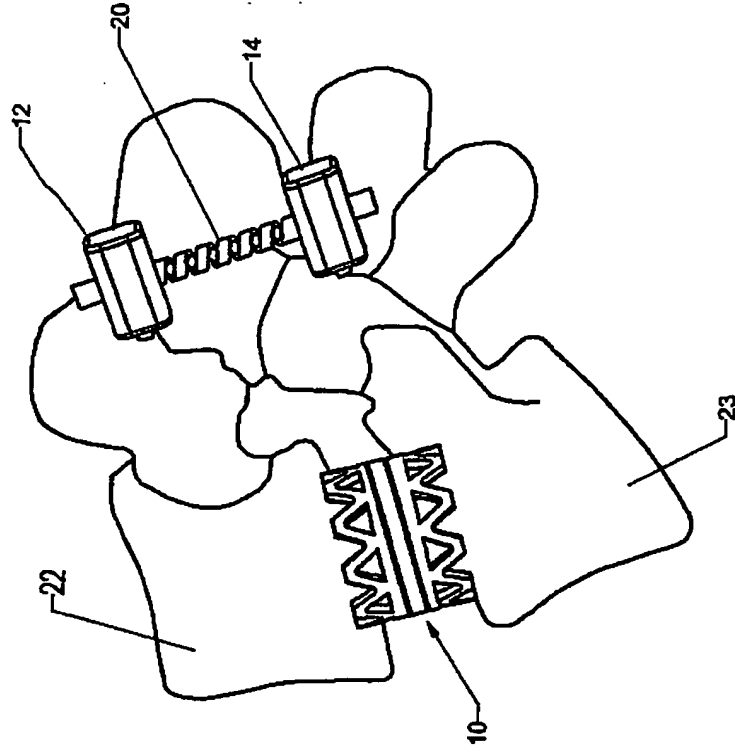
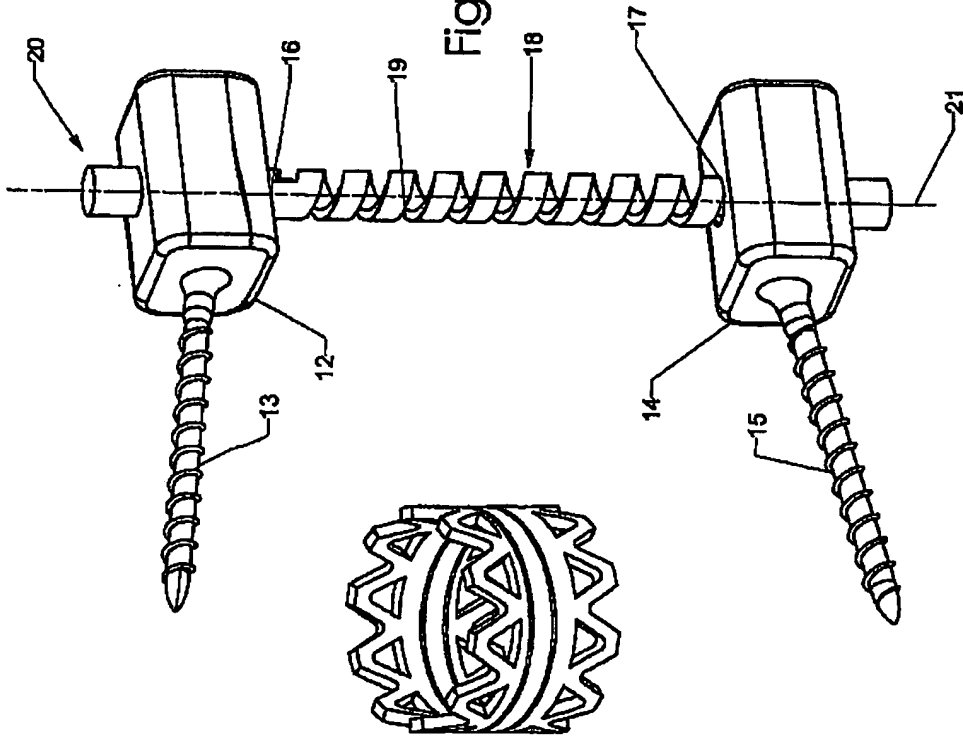


Fig. 7



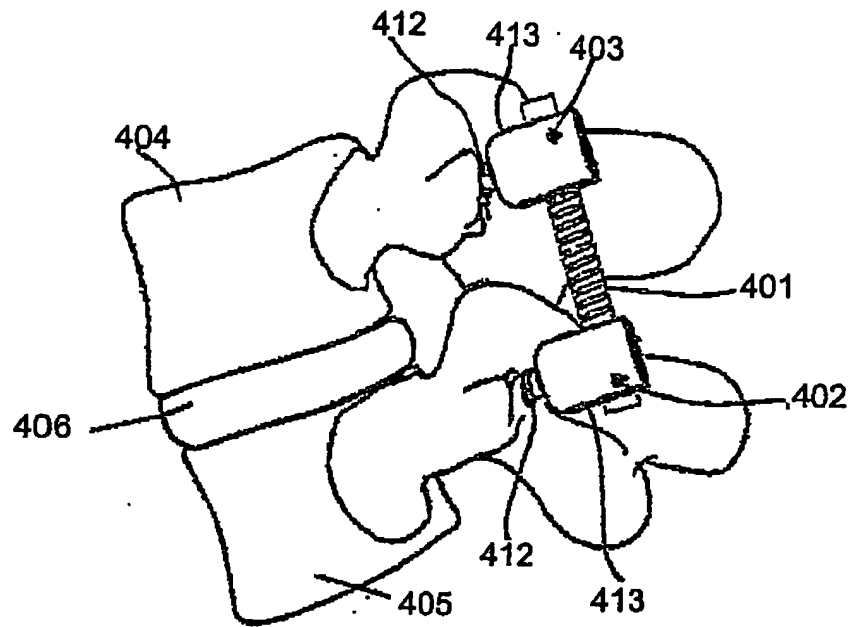


Fig. 9

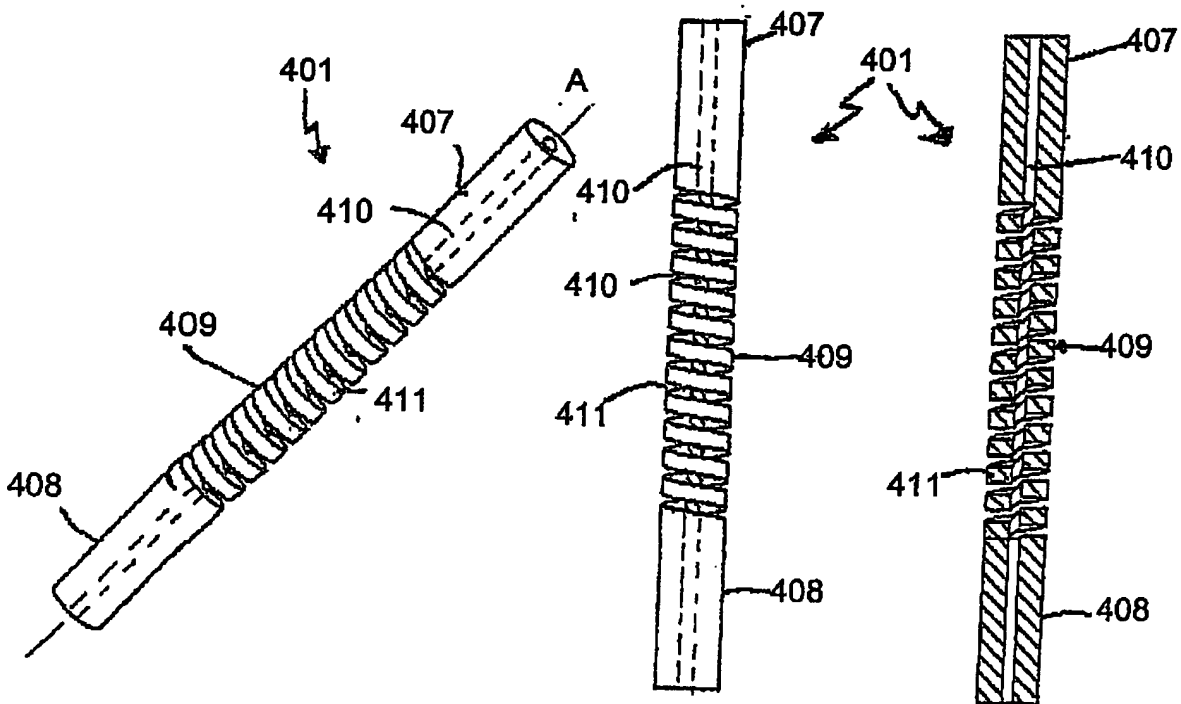


Fig. 10

Fig. 11a

Fig. 11b

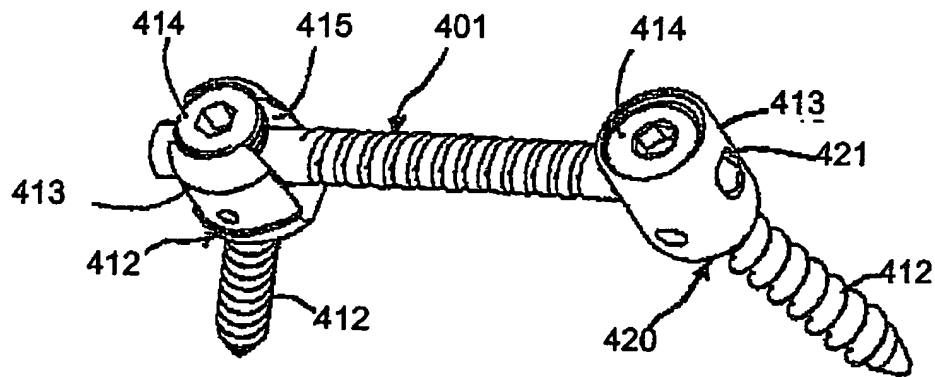


Fig. 12a

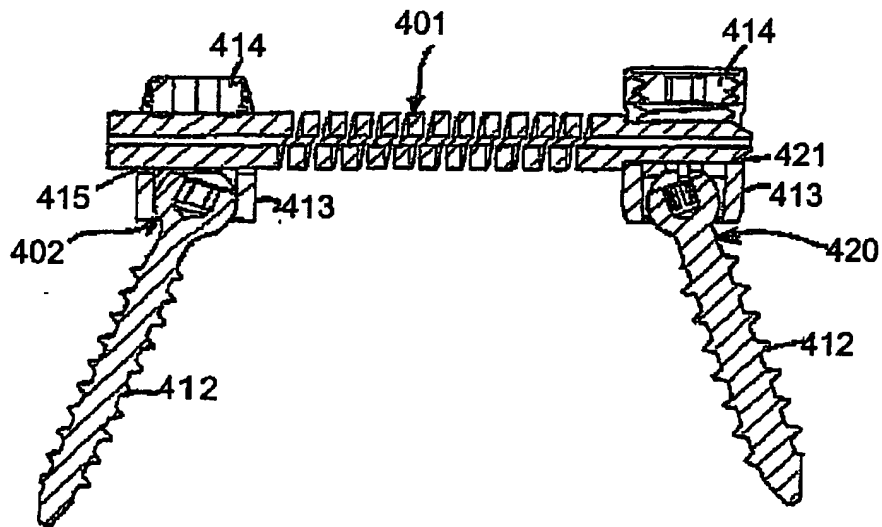


Fig. 12b

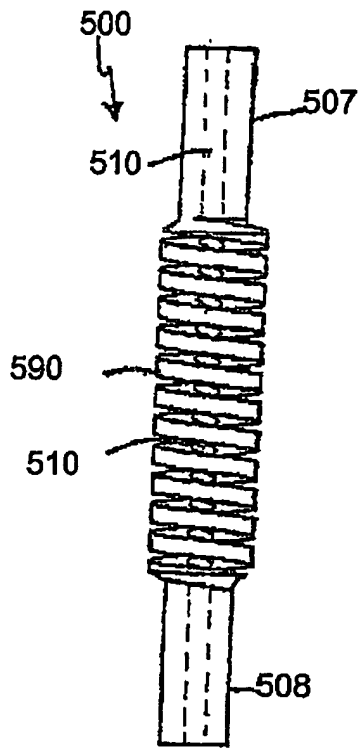


Fig. 13

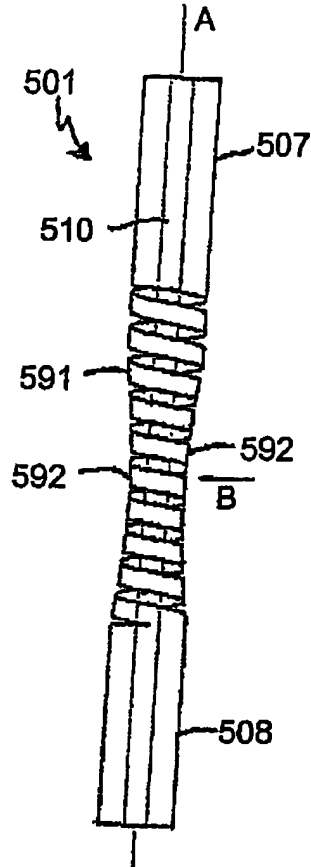


Fig. 14

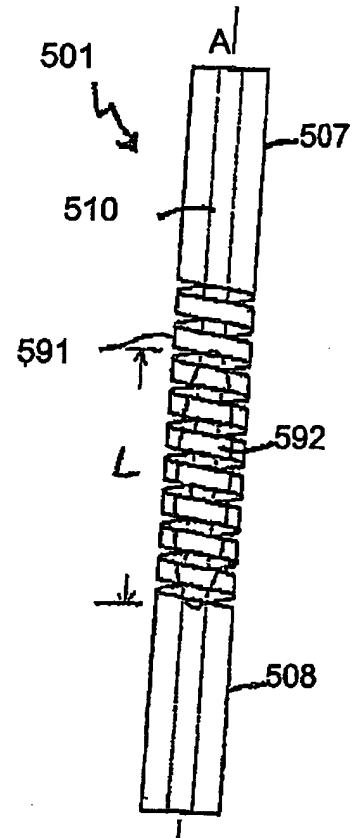


Fig. 15

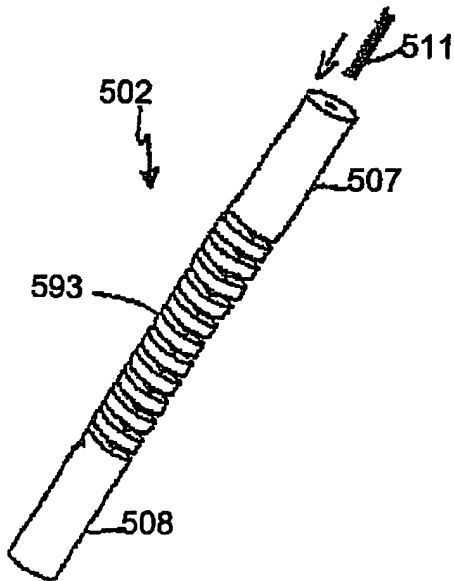


Fig. 16

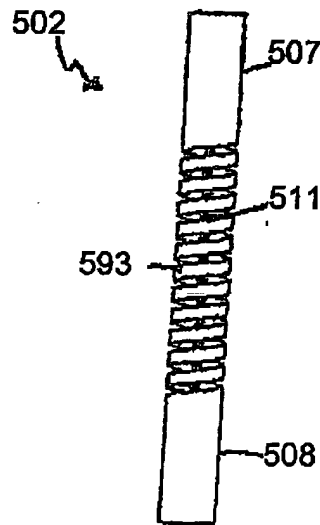


Fig. 17

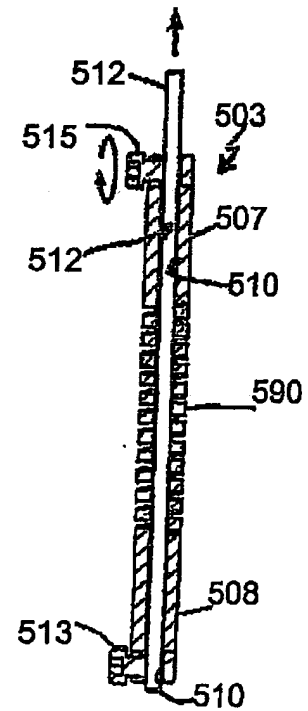


Fig. 18

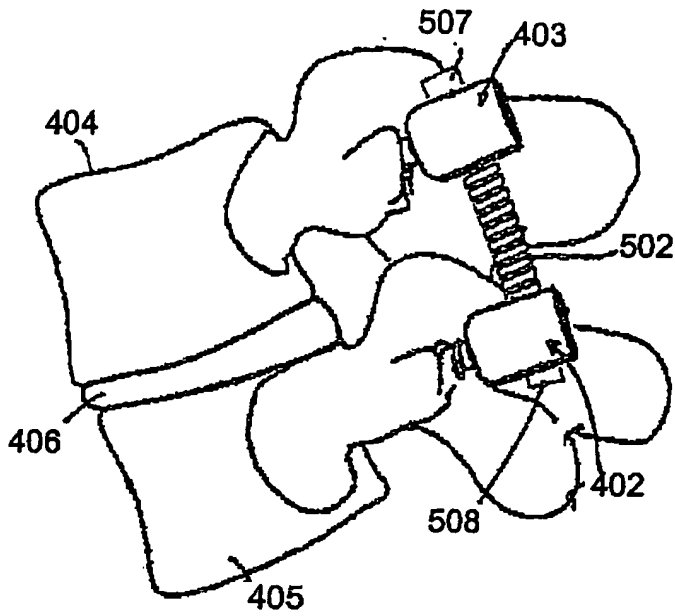


Fig. 19

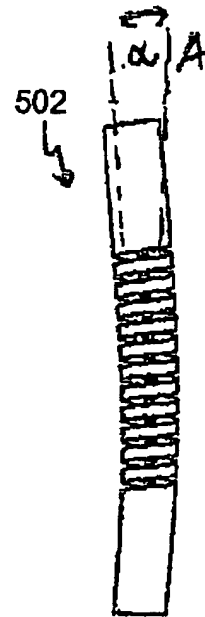


Fig. 20

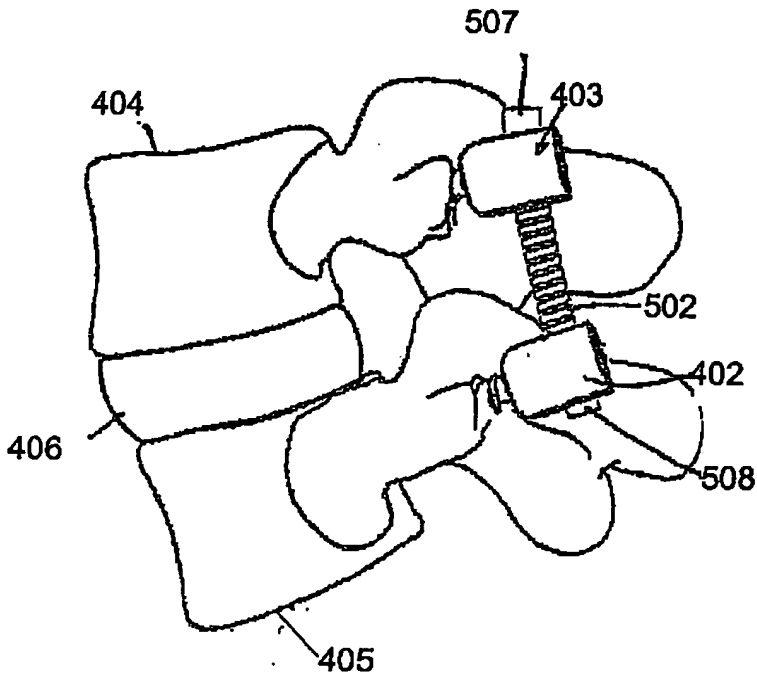


Fig. 21

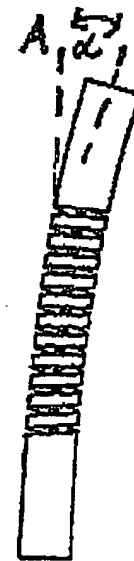


Fig. 22

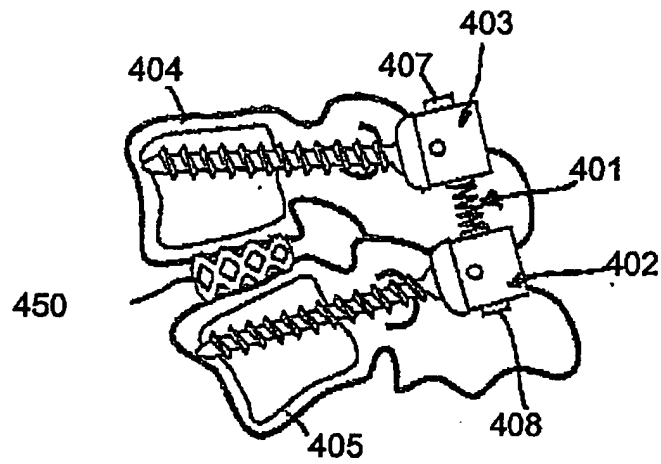


Fig. 23

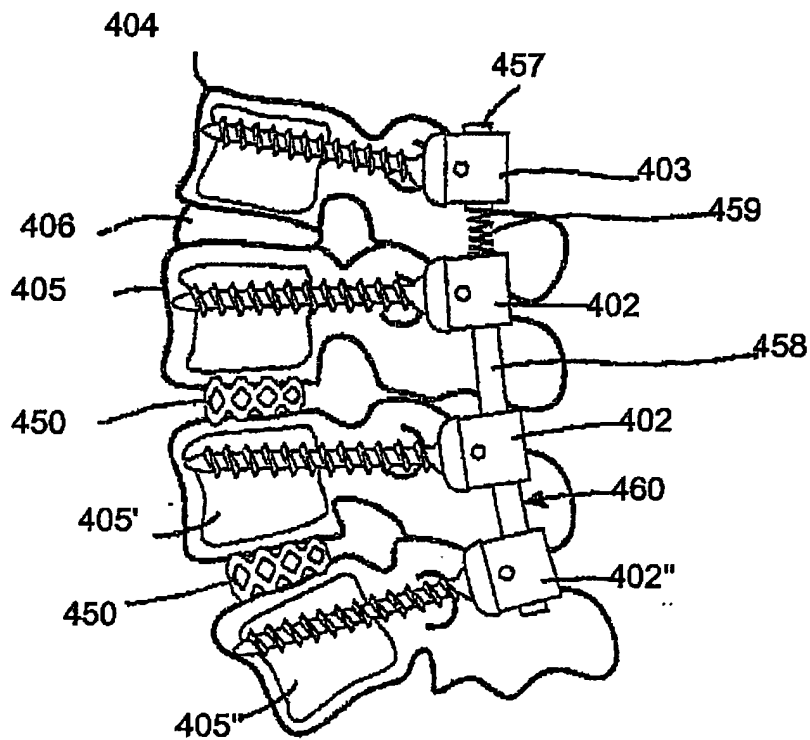
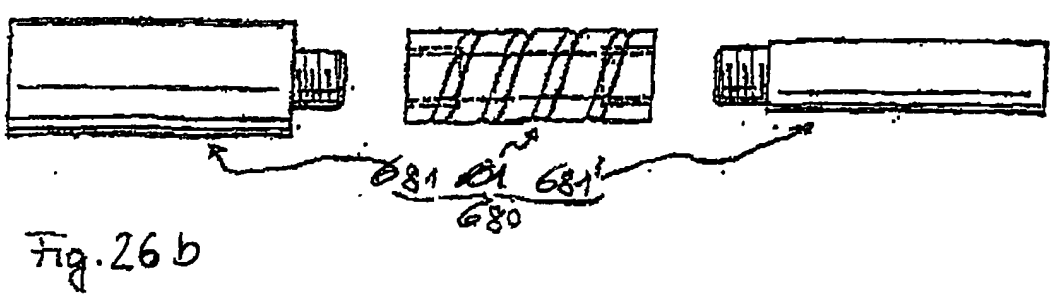
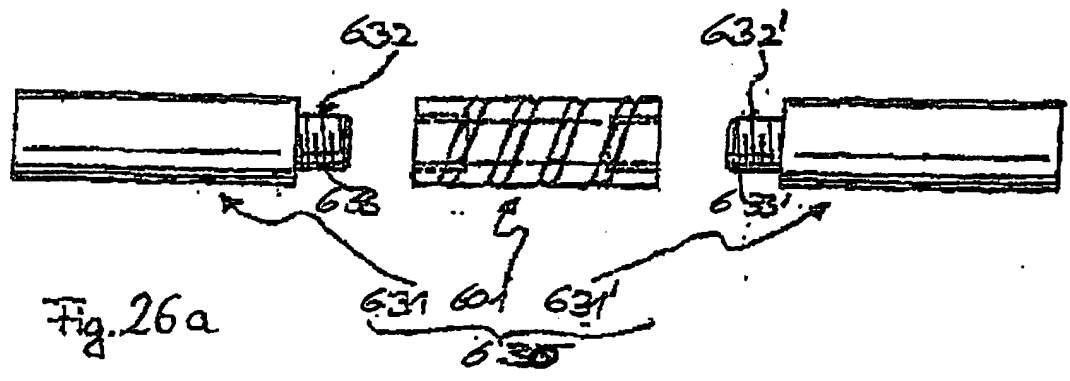
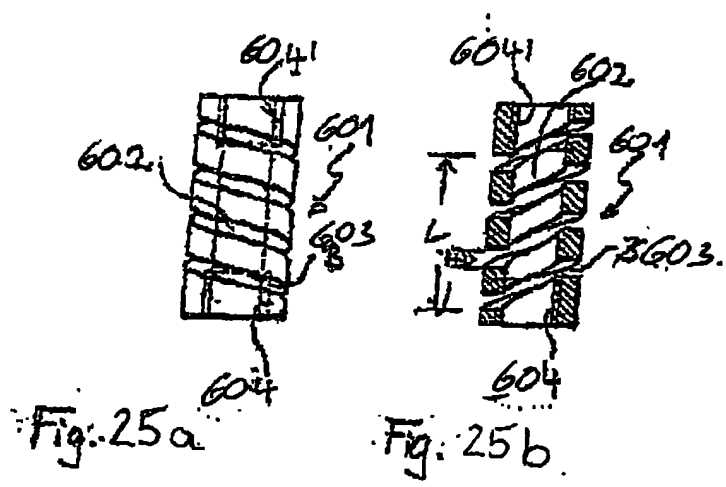


Fig. 24



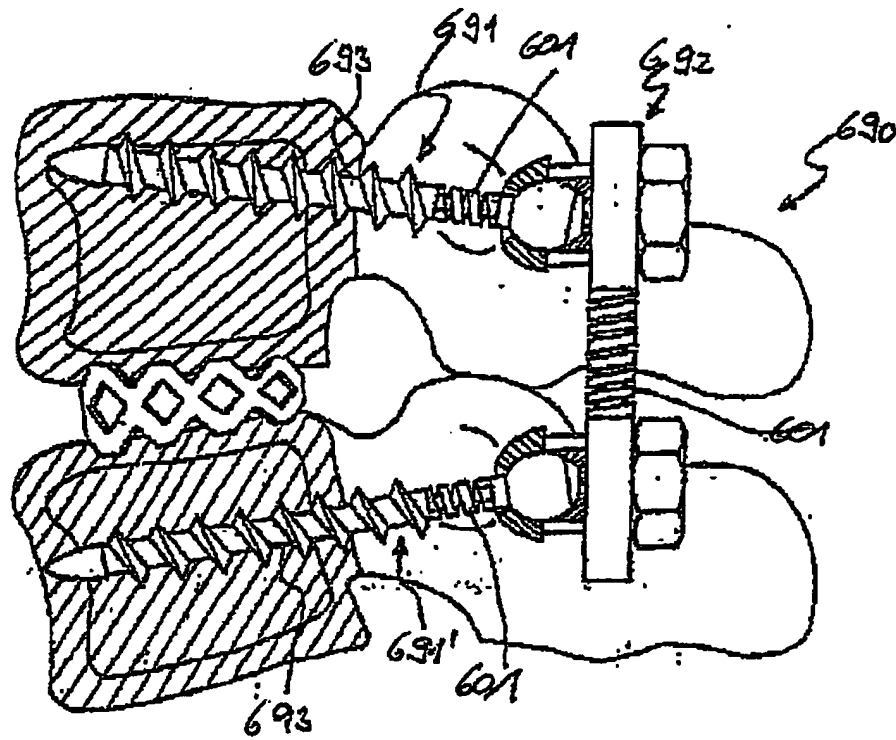


Fig. 28

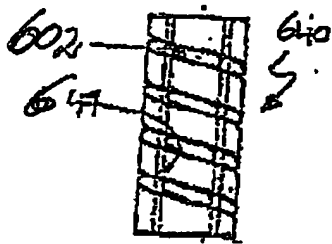


Fig. 29

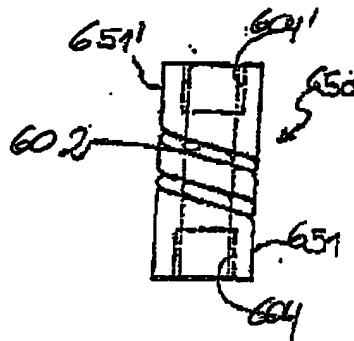
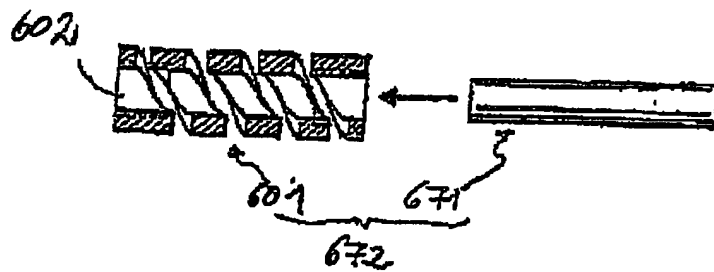
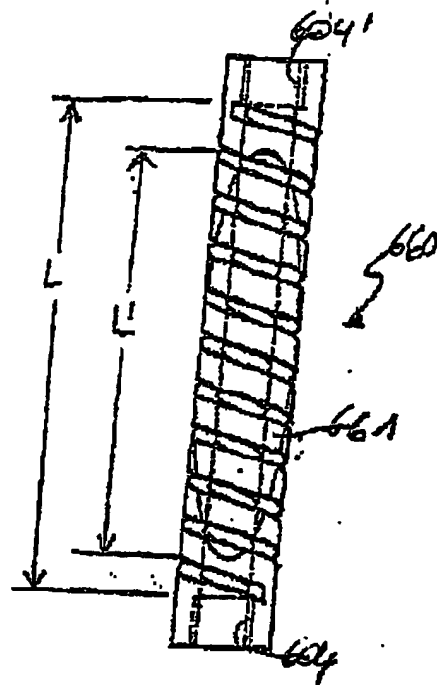
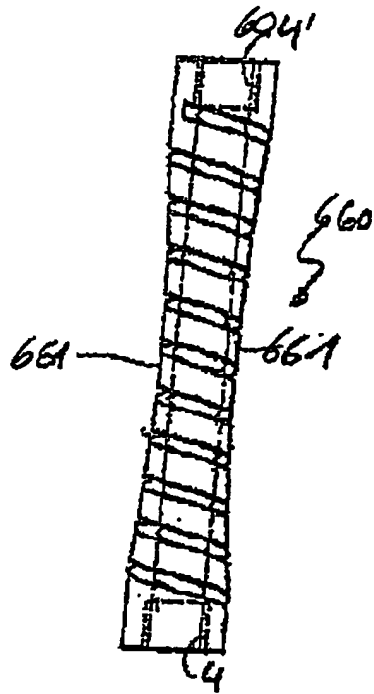
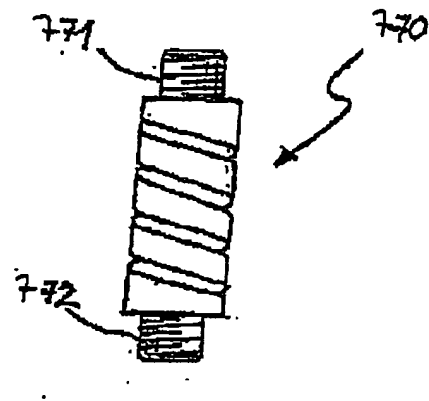
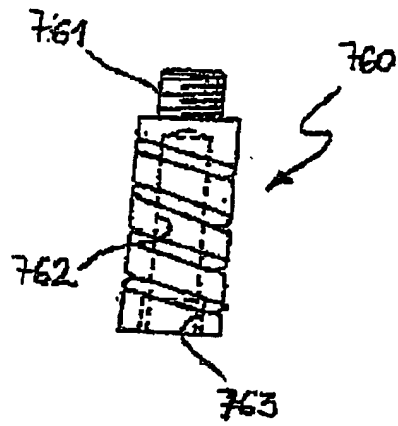
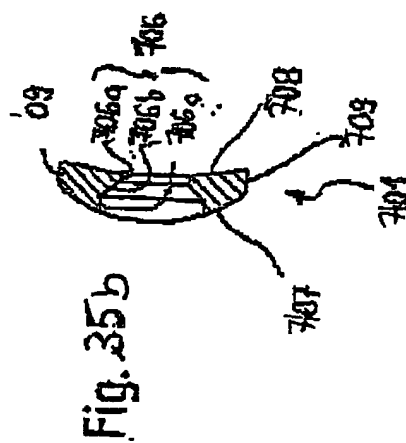
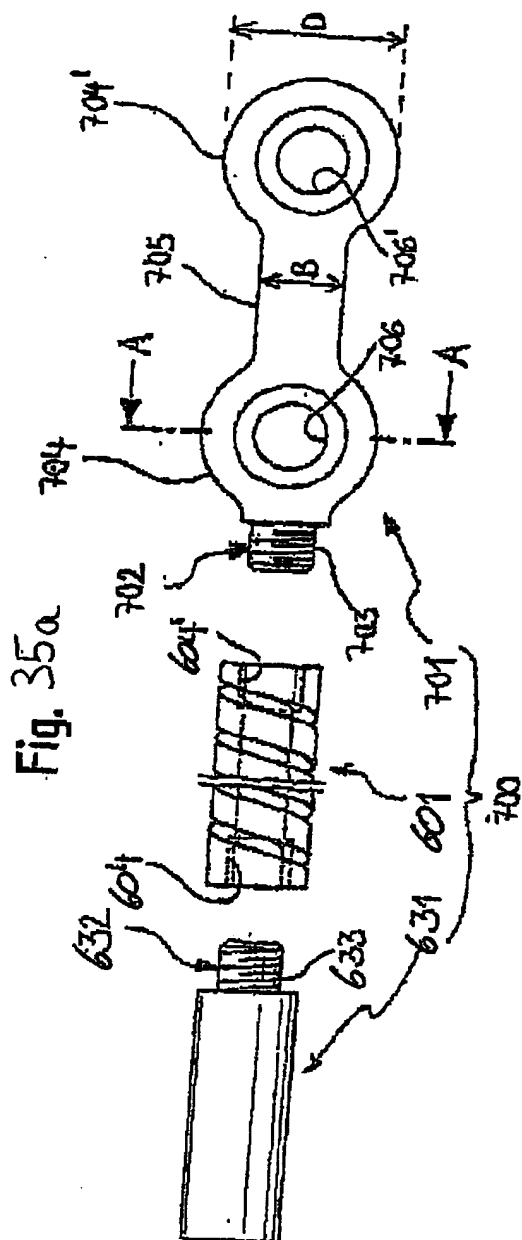
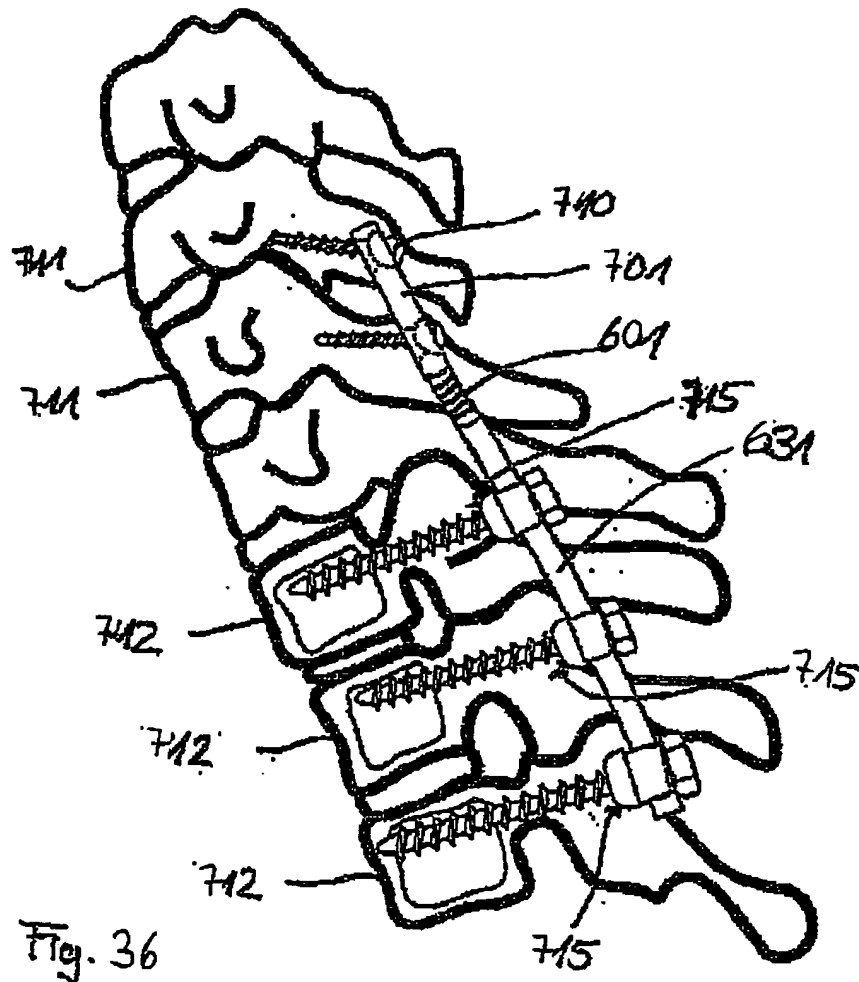


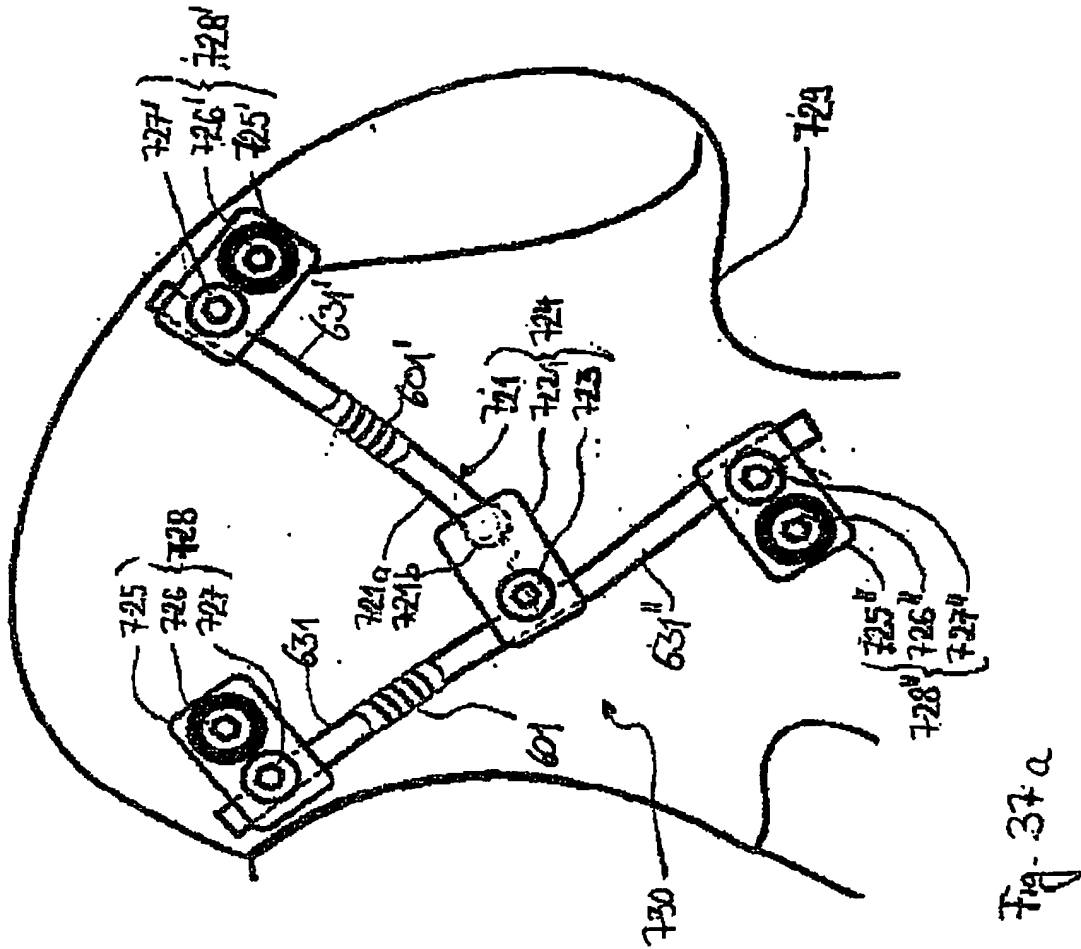
Fig. 30

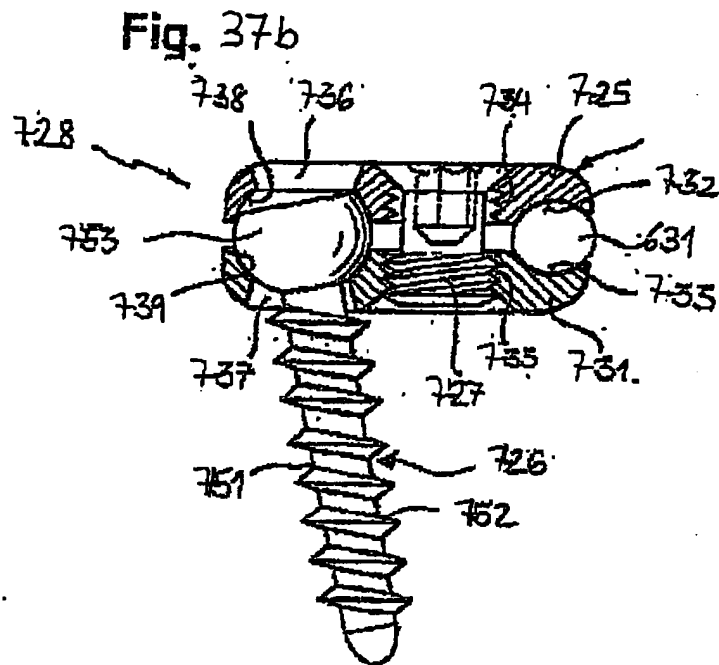












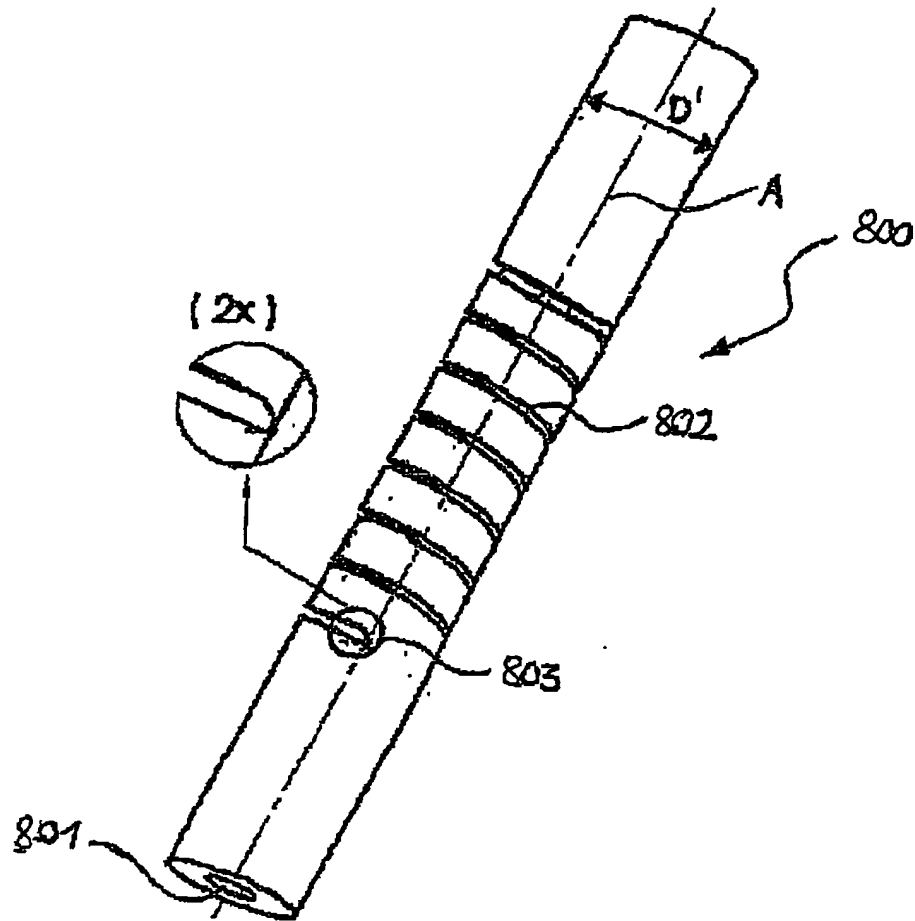


Fig. 38